

Dr Zbigniew Borelowski  
 Mgr Sławomir Brzezowski  
 Zakład Fizyki Teoretycznej  
 Instytutu Fizyki UJ  
 w Krakowie

M A C I E R Z "S" -  
 REGULARYZACJA BOGOLUBOWA I REPREZENTACJA KADYSZEWSKIEGO

1. Pojęcie operatora "S"

Jak wiadomo z mechaniki kwantowej, stan układu fizycznego opisać można w sposób kompletny za pomocą tzw. funkcji stanu  $\Psi(t)$ . Rozwój stanu fizycznego  $\Psi(t)$  w czasie opisuje się za pomocą operatora unitarnego  $U(t_2, t_1)$  zdefiniowanego, jak następuje:

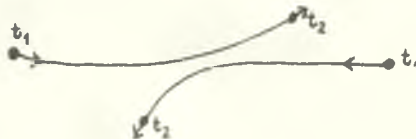
$$U(t_2, t_1) \Psi(t_1) = \Psi(t_2) \quad \dots/1.1/$$

Jeżeli funkcja  $\Psi(t)$  opisuje układ rozpraszanych na sobie cząstek, to interesuje nas związek między stanem cząstek przed rozproszeniem

$$\Psi(t_1) \stackrel{\text{df}}{=} |in\rangle$$

i po rozproszeniu

$$\Psi(t_2) \stackrel{\text{df}}{=} |out\rangle$$



Zakładamy, że cząstki biorące udział w rozproszeniu są swobodne z wyjątkiem krótkiej chwili interakcji. Oś czasu ustalamy tak, aby  $t=0$  odpowiadało momentowi oddziaływania i wtedy przejście od stanu  $|in\rangle$  do stanu  $|out\rangle$  opisujemy za pomocą operatora  $U(t_2, t_1)$ :

\*/ Definicje te odbiegają od spotykanych w literaturze.

$$|out\rangle = U(t_2, t_1) |in\rangle \quad \dots/1.1'/$$

gdzie

$$t_1 < 0$$

$$t_2 > 0$$

Założenie, że funkcje  $|in\rangle$  i  $|out\rangle$  opisują cząstki swobodne /tzn. nie zmieniają się w czasie w sposób istotny/, pozwala zrobić przejście graniczne

$$t_1 \rightarrow -\infty$$

$$t_2 \rightarrow +\infty$$

co doprowadza do zdefiniowania operatora "S" - podstawowego operatora w kwantowej teorii pola:

$$S = \lim_{\substack{t_1 \rightarrow -\infty \\ t_2 \rightarrow +\infty}} U(t_2, t_1) \quad \dots/1.2/$$

a więc

$$\Psi(+\infty) = S \Psi(-\infty) \quad \dots/1.3/$$

W przypadku opisu rozproseń cząstek zapisujemy zwykle:

$$\Psi(-\infty) \equiv |in\rangle$$

$$\Psi(+\infty) \equiv |out\rangle \quad \dots/1.4/$$

Zgodnie z ogólnym formalizmem mechaniki kwantowej stany  $|in\rangle$  i  $|out\rangle$  możemy wyrazić jako superpozycję zupełnego układu stanów ortonormalnych, np. stanów własnych  $|\vec{p}\rangle$  /albo  $\phi_{\vec{p}}(\vec{x})$ / operatora pędu:

$$|in\rangle = \int |\vec{p}\rangle \langle \vec{p} | in \rangle d^3 \vec{p} \quad \dots/1.5/$$

gdzie  $\langle \vec{p} | in \rangle$  jest funkcją pędu i oznacza iloczyn skalarny

$$\int \phi_{\vec{p}}^*(\vec{x}) \Psi(\vec{x}, t) d^3 \vec{x} \quad \dots/1.6/$$

zapisany w notacji Diraca. Analogicznie

$$|out\rangle = \int |\vec{p}\rangle \langle \vec{p} | out \rangle d^3 \vec{p} \quad \dots/1.5/$$

Zwykle stan  $|in\rangle$  jest wprost stanem własnym operatora pędu  $|\vec{p}_{in}\rangle$  /strumień cząstek o jednakowych pędach  $\vec{p}$  in/. Stan  $|out\rangle$  jest na ogół superpozycją stanów  $|\vec{p}\rangle$  i możemy tylko badać gęstość prawdopodobieństwa  $\mathcal{S}_{\vec{p}}$  z jakim stan  $|in\rangle$  przejdzie w wybrany stan  $|\vec{p}\rangle$ :

$$\mathcal{S}_{\vec{p}} = |\langle out | \vec{p} \rangle|^2 = |\langle \vec{p} | S | \vec{p}_{in} \rangle|^2 \quad \dots/1.7/$$

bo w tym wypadku

$$|out\rangle = S |\vec{p}_{in}\rangle$$

Mówimy o gęstości prawdopodobieństwa przejścia  $\mathcal{S}_{\vec{p}}$ , ponieważ widmo stanów własnych pędu  $|\vec{p}\rangle$  jest ciągle i prawdopodobieństwo przejścia dokładnie w stan  $|\vec{p}\rangle out\rangle$  jest równe zeru. Dopiero wielkość  $\mathcal{S}_{\vec{p}_{out}} d^3p$  daje prawdopodobieństwo otrzymania po rozproszeniu stanu o pędzie z przedziału  $[\vec{p}_{out}, \vec{p}_{out} + d\vec{p}]$ . Liczbę zespoloną  $\langle \vec{p} | S | \vec{p}_{in} \rangle$  /dla ustalonych pędów/ nazywamy elementem macierzowym macierzy rozpraszania. Dlatego zamiast terminu "operator S" często spotyka się określenie "macierz S". Elementy tej macierzy związane są z tzw. różniczkowym przekrojem czynnym  $\frac{d\sigma}{dp}(p_{in}, p)$ , który wyznaczamy doświadczalnie. Porównanie wyników doświadczenia z przekrojem czynnym obliczonym teoretycznie pozwala więc na sprawdzenie teorii.

Przystępujemy do wyprowadzenia jawnej postaci operatora "S". Zależność funkcji falowej od czasu wyznaczyć można z równania Schrödingera /najwygodniej w obrazie oddziaływania/:

$$\hat{H}_I(t) \Psi(t) = i \frac{\partial}{\partial t} \Psi(t) \quad \dots/1.8/$$

w układzie jednostek  $\hbar = c = 1$ . Korzystając z definicji /1.1/ otrzymujemy:

$$\hat{H}_I(t) U(t, t_0) \Psi(t_0) = i \frac{\partial}{\partial t} U(t, t_0) \Psi(t_0) \quad \dots/1.9/$$

dla dowolnego  $t$  i dla dowolnego stanu  $\Psi(t_0)$ . Równanie to przepisać można w postaci operatorowej

$$\hat{H}_I(t) U(t, t_0) = i \frac{\partial}{\partial t} U(t, t_0) \quad \dots/1.10/$$

a po nałożeniu warunku początkowego  $U(t_0, t_0) = \hat{1}$  w postaci operatorowego równania całkowego

$$U(t, t_0) = 1 - i \int_{t_0}^t \hat{H}_I(t') U(t', t_0) dt' \quad \dots/1.11/$$

Iteracyjne rozwiązanie tego równania ma postać szeregu nieskończonego

$$U(t, t_0) = 1 + (-i) \int_{t_0}^t dt_1 H_I(t_1) + (-i)^2 \int_{t_0}^t dt_1 \int_{t_0}^{t_1} dt_2 H_I(t_1) H_I(t_2) + \dots \quad \dots/1.12/$$

Kolejny wyraz  $U_n$  tego szeregu ma postać

$$U_n(t, t_0) = (-i)^n \int_{t_0}^t dt_1 \int_{t_0}^{t_1} dt_2 \dots \int_{t_0}^{t_{n-1}} dt_n H_I(t_1) H_I(t_2) \dots H_I(t_n)$$

co można też zapisać w postaci

$$U_n(t, t_0) = (-i)^n \int_{t_0}^t dt_1 \int_{t_0}^{t_1} dt_2 \dots \int_{t_0}^{t_n} dt_n \Theta(t_1 - t_2) \dots \Theta(t_{n-1} - t_n) \cdot H_I(t_1) \dots H_I(t_n) \quad \dots/1.13/$$

gdzie funkcja Heaviside'a  $\Theta(t)$  jest określona jak następuje:

$$\begin{aligned} \Theta(t) &= 0 \quad \text{gdy } t < 0 \\ \Theta(t) &= 1 \quad \text{gdy } t \geq 0 \end{aligned} \quad \dots/1.14/$$

Po przejściu granicznym  $t \rightarrow +\infty$ ,  $t_0 \rightarrow -\infty$  i po skorzystaniu z zachodzącej dla prostych przypadków zależności  $H_I(t) = -L_I(t)$ , gdzie  $L_I(t)$  jest częścią operatora Lagrange'a opisującą oddziaływanie, otrzymujemy operator "S" w postaci

$$S = 1 + i \sum_{n=1}^{\infty} T_n \quad \dots/1.15/$$

gdzie

$$T_n = (i)^{n-1} \int_{-\infty}^{\infty} \int_{-\infty}^{\infty} dt_1 \dots dt_n \Theta(t_1 - t_2) \dots \Theta(t_{n-1} - t_n) \cdot L_I(t_1) \dots L_I(t_n) \quad \dots/1.16/$$

## 2. Elementy teorii pola

W formalizmie nierelatywistycznej mechaniki kwantowej istnieje zasadnicza różnica między pojęciem pola i cząstki. Dynamika, której podlega cząstka /jej funkcja falowa/ pochodzi od oddziaływania cząstki z polem /np. elektrostatycznym lub magnetostatycznym/, o którym zakładamy, że rozchodzi się ono w sposób natychmiastowy. Niezależnie od tego, czy jest to pole zewnętrzne, czy też jego źródło bierze udział w dynamice,

traktuje się je jako oddziaływanie na odległość i wprowadza jako część potencjalną do operatora Hamiltona. Fakt korpuskularnej natury promieniowania z jednej strony i falowej struktury "cząstek materii" z drugiej sugerują możliwość opisu zarówno "pól" jak i "cząstek" za pomocą wspólnego formalizmu. Próby skonstruowania takiego formalizmu doprowadziły do powstania teorii pola. W klasycznej teorii pola obiekty fizyczne reprezentowane są przez tzw. funkcje pola  $\Phi(x)$ , które spełniają równanie Kleina-Gordona, odpowiadające relatywistycznemu związkowi między energią i pędem

$$(\square + m^2)\varphi(x) = 0 \quad \dots/2.1/$$

gdzie  $\square = g^{\nu\lambda}\partial_\nu\partial_\lambda$  jest operatorem Kleina-Gordona. Funkcje wszystkich rodzajów pól relatywistycznych powinny spełniać to równanie /dla odpowiednich mas spoczynkowych  $m$ /. W zależności od swego geometrycznego charakteru mogą one oprócz tego spełniać równanie Diraca/fermiony o spinie  $\frac{1}{2}$ /, lub równania falowe wyższych rzędów. W tej pracy ograniczymy się do rozważenia skalarnych funkcji  $\varphi(x)$  wspomnianych na wstępie. Funkcje Lagrange'a pól swobodnych /ściślej - ich gęstości/  $\mathcal{L}(\varphi(x), \frac{\partial\varphi(x)}{\partial x^\mu})$  buduje się z funkcji pola w taki sposób, aby z zasady wariacyjnej dla całki działania otrzymać odpowiednie równanie:

Zasadę wariacyjną

$$\delta A = \delta \int \mathcal{L}(x) dx = 0 \quad \dots/2.2/$$

można bowiem zapisać w równoważnej postaci /zakładając znikanie wariacji funkcji pola w nieskończoności/

$$\frac{\partial\mathcal{L}(x)}{\partial\varphi(x)} - \sum_{\mu=0}^3 \frac{\partial}{\partial x^\mu} \frac{\partial\mathcal{L}(x)}{\partial\dot{\varphi}(x)} = 0 \quad \dots/2.3/$$

Jest to tzw. równanie Eulera-Lagrange'a. Przyjmując gęstość funkcji Lagrange'a rzeczywistego, nienaładowanego, swobodnego pola skalarnego  $\varphi(x)$  w postaci:

$$\mathcal{L}(x) = \partial_\mu\varphi\partial^\mu\varphi - m^2\varphi^2 \quad \dots/2.4/$$

otrzymujemy z zasady wariacyjnej równanie Kleina-Gordona, co dowodzi poprawności wyboru funkcji Lagrange'a. Funkcję Lagrange'a jako funkcję  $x^0$  /czasu/ otrzymujemy przez scałkowanie gęstości  $\mathcal{L}(x)$  po zmiennych przestrzennych

$$I(x^0) = \int \mathcal{L}(x) d^3x \quad \dots/2.5/$$

Do teorii pola przenosi się strukturę formalizmu kanonicznego wypracowanego w oparciu o mechanikę klasyczną. Kontynuując tę analogię wprowadza się tensor energii-pędu

$$T_{\mu\nu}(x) = \partial_\mu \varphi \frac{\partial \mathcal{L}}{\partial \varphi} - \mathcal{L} \delta_{\mu\nu} \quad \dots/2.6/$$

oraz 4-wektor energii-pędu

$$P^\mu(x^0) = \int T^{0\mu}(x) d^3 \vec{x} \quad \dots2.7/$$

W wypadku pól oddziaływujących wprowadza się gęstość lagrangianu oddziaływania  $\mathcal{L}_I(x)$  skonstruowaną z funkcji falowych pól oddziaływujących. Kształt funkcji  $\mathcal{L}_I(x)$  należy tak dobrać, aby była ona relatywistycznie niezmiennicza, oraz by otrzymać wyniki zgodne z doświadczeniem /czynnik modelu w teorii pola/. Wspomniana wyżej klasyczna teoria nie operuje pojęciem cząstki a tym bardziej nie obejmuje procesów związanych z powstawaniem i ginięciem cząstek, obserwowanych w przyrodzie. Próbę opisu tej klasy zjawisk stanowi kwantowa teoria pola. W ramach krótkiego artykułu nie sposób podać wyczerpującego omówienia tej teorii; ograniczymy się tylko do podania głównych jej założeń. Funkcję pola z klasycznej teorii rozwija się w szeregi Fouriera /obraz pędowy/.

$$\varphi(x) = \frac{1}{(2\pi)^{\frac{3}{2}}} \int d^4 k e^{i k x} \varphi(k) \quad \dots/2.8/$$

gdzie  $kx \stackrel{\text{def}}{=} g^{\mu\nu} k_\mu x_\nu = k_0 x_0 - \vec{k} \cdot \vec{x}$

Z równania Kleina-Gordona /2.1/ wynika, że

$$(k^2 - m^2) \tilde{\varphi}(k) = 0 \quad \text{gdzie} \quad k^2 = k_0^2 - \vec{k}^2$$

a więc

$$\tilde{\varphi}(k) = \delta(k^2 - m^2) \varphi(k)$$

Stąd

$$\varphi(x) = \frac{1}{(2\pi)^{\frac{3}{2}}} \int d^4 k \delta(k^2 - m^2) e^{i k x} \varphi(k) \quad \dots/2.9/$$

Po odpowiednich przekształceniach otrzymujemy

$$\varphi(x) = \varphi^{(+)}(x) + \varphi^{(-)}(x), \quad \dots/2.10/$$

gdzie

$$\begin{aligned} \varphi^{(+)}(x) &= \frac{1}{(2\pi)^{3/2}} \int_{k^0 > 0} e^{ikx} \delta(k^2 - m^2) \varphi(k) d^4k = \\ &= \frac{1}{(2\pi)^{3/2}} \int \frac{d^3\vec{k}}{\sqrt{2k^0}} e^{ikx} \varphi^{(+)}(\vec{k}) \quad k^0 = +\sqrt{\vec{k}^2 + m^2} \quad \dots/2.11/ \\ \varphi^{(-)}(x) &= \frac{1}{(2\pi)^{3/2}} \int_{k_0 > 0} e^{-ikx} \delta(k^2 - m^2) \varphi(-k) d^4k = \\ &= \frac{1}{(2\pi)^{3/2}} \int \frac{d^3\vec{k}}{\sqrt{2k^0}} e^{-ikx} \varphi^{(-)}(\vec{k}) \quad k^0 = +\sqrt{\vec{k}^2 + m^2} \quad \dots/2.11'/ \end{aligned}$$

Funkcje  $\varphi^{(+)}(\vec{k})$  i  $\varphi^{(-)}(\vec{k})$  mają postać:

$$\begin{aligned} \varphi^{(+)}(\vec{k}) &= \frac{\theta(k^0) \varphi(k)}{\sqrt{2k^0}} & k_0 = +\sqrt{\vec{k}^2 + m^2} \quad \dots/2.12/ \\ \varphi^{(-)}(\vec{k}) &= \frac{\theta(k^0) \varphi(-k)}{\sqrt{2k^0}} \end{aligned}$$

W kwantowej teorii pola zakłada się, że każdy stan fizyczny /tzw. amplitudę stanu  $\Phi_p$ / można otrzymać ze stanu próżni  $|0\rangle$  działając na ten stan operatorami tworzenia cząstek. Potraktujemy funkcje  $\varphi^{(+)}(\vec{k})$  i  $\varphi^{(-)}(\vec{k})$  jako pewne operatory działające we wspomnianej przestrzeni stanów. Tym samym 4-wektor energii-pędu /2.7/ stanie się operatorem energii pędu  $P^\mu$ , a tensor krętu /którego klasycznej postaci nie przedstawialiśmy/ - operatorem krętu. Z ogólnych własności transformacyjnych, jakie powinna posiadać każda relatywistycznie niezmiennicza teoria wynikają reguły komutacyjne dla operatorów pędu i krętu. Rozważmy dwie z nich:

$$\begin{aligned} [\varphi^{(+)}(k), P^\mu] &= -k^\mu \varphi^{(+)}(k) & \dots/2.13/ \\ [\varphi^{(-)}(k), P^\mu] &= k^\mu \varphi^{(-)}(k) \end{aligned}$$

gdzie

$$\left. \begin{aligned} \varphi^{(+)}(k) &= \varphi(k) \\ \varphi^{(-)}(k) &= \varphi(-k) \end{aligned} \right\} \text{określone tylko dla } k^0 > 0.$$

Niech  $\Phi_p$  oznacza pewną amplitudę stanu wielocząstkowego /symbol  $p$  opisuje zespół pędów cząstek tworzących stan  $\Phi_p$ /. Wówczas

$$P^\mu \Phi_p = p^\mu \Phi_p$$

przyczym zakładamy

$$P^\mu |0\rangle = 0$$

Stosując równania operatorowe /2.13/ do stanu  $\Phi_p$  otrzymujemy:

$$P^\mu \varphi^{(+)}(k) \Phi_p = (p^\mu + k^\mu) \varphi^{(+)}(k) \Phi_p \quad \dots/2.15/$$

Stan  $\varphi^{(+)}(k) \Phi_p$  jest stanem własnym operatora pędu do wartości własnej  $p + k$ . Operator  $\varphi^{(+)}(k)$  "dorzucił" więc do stanu  $\Phi_p$  cząstkę o 4 pędzie  $k$ . Podobnie

$$P \varphi^{(-)}(k) \Phi_p = (p - k) \varphi^{(-)}(k) \Phi_p \quad \dots/2.15/$$

/operator  $\varphi^{(-)}(k)$  "zniszczył" cząstkę o 4-pędzie  $k$ /. Operator niszczenia działając na stan próżni /o energii zerowej/ obniża jego energię. Ponieważ nie może istnieć stan o energii ujemnej, więc

$$\varphi^{(-)}(\vec{k}) |0\rangle = 0 \quad \dots/2.16/$$

Okazuje się, że wszystkie reguły komutacyjne równoważne są uniwersalnej zależności między operatorami pola:

$$[\varphi^{(-)}(\vec{k}), \varphi^{(+)}(\vec{k}')] = \delta(\vec{k} - \vec{k}'), \quad \dots/2.17/$$

Definicja iloczynu skalarnego stanów oraz założenie unormowania amplitudy stanu do funkcji delta-Diraca /ciągłe widmo stanów o określonym pędzie/ wskazuje regułę sprzęgania po hermitowsku operatorów tworzenia i niszczenia cząstek. Mamy bowiem:

$$\varphi^{(+)}(\vec{k}) |0\rangle$$

jako stan jednej cząstki o pędzie  $\vec{k}$ . Iloczyn skalarny dwóch takich stanów o różnych pędach  $\vec{k}$  i  $\vec{k}'$  powinien być równy

$$\langle 0 | \varphi^{(+)}(\vec{k}) \varphi^{(+)}(\vec{k}') |0\rangle = \delta(\vec{k} - \vec{k}')$$



Zakładając unormowanie stanu próżni

$$\langle 0 | 0 \rangle = 1$$

otrzymujemy zgodność wzorów /2.17/ i /2.17'/ jeżeli położymy

$$(\varphi^{(+)}(\vec{k}))^{+} = \varphi^{(-)}(\vec{k}) \quad \dots/2.18/$$

### 3. Operator "S" w teorii pola.

Przed zbudowaniem operatora S należy wprowadzić kilka pojęć.

1-o. Iloczyn normalny operatorów pola, oznaczony

$$:\varphi_1(x_1) \varphi_2(x_2) \dots \varphi_n(x_n): \quad \dots/3.1/$$

lub w reprezentacji pędowej

$$:\varphi_1(p_1) \dots \varphi_n(p_n): \quad \dots/3.1'$$

nakazuje ustawienie operatorów niszczenia na prawo od operatorów tworzenia i występuje we wszystkich wielkościach dynamicznych zbudowanych z operatorów pola /np. w gęstości lagrangianu/.

2-o. Pojęcie zwężenia /kontrakcji/ operatorów pola oznaczone i zdefiniowane jak następuje:

$$\underline{\varphi(x)} \varphi(y) \stackrel{df}{=} [\varphi(x), \varphi(y)] = -i D(x-y) \quad \dots/3.2/$$

gdzie

$$D(x-y) = \frac{1}{(2\pi)^3} \int e^{ik(x-y)} \delta(k^2 - m^2) \theta(-k^0) d^4k \quad \dots/3.3/$$

jest funkcją zmiennej /x-y/, lub w reprezentacji pędów

$$\underline{\varphi(p)} \varphi(k) \stackrel{df}{=} [\varphi(p), \varphi(k)] = \delta(p+k) D(k) \quad \dots/3.2'/$$

gdzie

$$D(k) = \theta(k^0) \delta(k^2 - m^2) \quad \dots/3.3'/$$

jest funkcją 4-pędu.

3-0. Twierdzenie Wicka, które mówi, że iloczyn operatorów pola można zastąpić sumą iloczynów normalnych tych operatorów ze zwięzzeniami według wzoru:

$$\begin{aligned} \varphi_1 \varphi_2 \dots \varphi_n &= : \varphi_1 \dots \varphi_n : + \underbrace{\varphi_1 \varphi_2}_{\text{zwięz.}} : \varphi_3 \dots \varphi_n : + \underbrace{\varphi_1 \varphi_3}_{\text{zwięz.}} : \varphi_2 \dots \varphi_n : + \dots \\ &+ \underbrace{\varphi_2 \varphi_4}_{\text{zwięz.}} \dots \varphi_n : + : \underbrace{\varphi_1 \dots \varphi_i}_{\text{zwięz.}} \varphi_n : + : \underbrace{\varphi_1 \dots \varphi_4}_{\text{zwięz.}} : + \\ &+ : \underbrace{\varphi_1 \varphi_2 \varphi_3 \varphi_4}_{\text{zwięz.}} \dots \varphi_n : + \dots \quad \dots /3.4/ \end{aligned}$$

itd., aż wszystkie operatory zostaną zwięzione.

Pozostaje nam zbudować operator "S". Korzystając ze wzorów /1.15/, /1.16/ i /2.7/ otrzymujemy:

$$S = 1 + i \sum_{n=1}^{\infty} T_n = 1 + i \sum \frac{1}{n!} \iint S_n(x_1 \dots x_n) dx_1 \dots dx_n \quad \dots /3.5/$$

$$\begin{aligned} T_n &= i^{n-1} \iint dx_1 \dots dx_n \theta(x_1^0 - x_2^0) \dots \theta(x_{n-1}^0 - x_n^0) \mathcal{L}_I(x_1) \dots \mathcal{L}_I(x_n) = \\ &= \frac{i^{n-1}}{n!} \iint dx_1 \dots dx_n T [\mathcal{L}_I(x_1) \dots \mathcal{L}_I(x_n)] \quad \dots /3.6/ \end{aligned}$$

Wzory /3.5/ i /3.6/ można streścić w symbolicznej postaci

$$S = T \exp \left[ i \int \mathcal{L}_I(x) d^n x \right] \quad \dots /3.7/$$

gdzie T jest symbolem iloczynu chronologicznego, to jest symbolem porządkowania operatorów  $\mathcal{L}_I(x)$  w kolejności chronologicznej wg  $x^0$ . Do iloczynu operatorów  $\mathcal{L}_I(x)$  /który stanowi iloczyn iloczynów normalnych/ stosujemy tzw. Wicka zwięzając kolejno operatory pola pochodzące od różnych operatorów Lagrange'a i uzyskujemy rozkład operatora  $T_n$  na sumę operatorów. Z poszczególnymi składnikami tej sumy związana jest pogładowa interpretacja graficzna /diagramy Feynmana/, opisana w każdym podręczniku kwantowej teorii pola //IV/, /V/, /VI//.

#### 4. Regularyzacja osobliwych członów T operatora "S"

Kolejne całki  $T_n$  są na ogół rozbieżne a procedura formalnego ich uzbieżniania nosi nazwę regularyzacji. Interpretacja fizyczna wyników procedury regularyzacji nosi nazwę renormalizacji i sprowadza się w naj-

prostszych przypadkach do zmiany masy spoczynkowej oraz stałej sprzężenia pól. Omówimy tu pokrótce metodę renormalizacji przedstawioną przez Bogolubowa w /IV/. Założył on postać

$$S_1(x) = 1 \mathcal{L}_I(x)$$

Po narzuceniu na operator "S" warunków unitarności, kowariantności, przyczynowości i symetrii, które wydają się najnaturalniejszymi z punktu widzenia intuicji fizycznej, okazuje się, że człon  $S_n(x_1 \dots x_n)$  można określić indukcyjnie przy pomocy członów  $S_1(x) \dots S_{n-1}(x_1 \dots x_{n-1})$  z dokładnością do addytywnego operatora  $\Lambda_n(x_1 \dots x_n)$  będącego sumą iloczynów normalnych operatorów pola ze współczynnikami funkcyjnymi

$$Z(\dots \frac{\partial}{\partial x^i} \dots) \delta(x_1 - x_2) \dots \delta(x_{n-1} - x_n)$$

gdzie  $Z(\dots \frac{\partial}{\partial x^i} \dots)$  jest symetrycznym wielomianem pochodnych cząstkowych o stałych współczynnikach. Operator  $\Lambda_n(x_1 \dots x_n)$  możemy przedstawić w najogólniejszej postaci

$$\Lambda(x_1 \dots x_n) = \sum_k Z_k(\dots \frac{\partial}{\partial x^i} \dots) \delta(x_1 - x_2) \dots \delta(x_{n-1} - x_n) : \varphi_1(x_1) \dots \varphi_k(x_k) : \dots /4.1/$$

Operatory o tych własnościach noszą nazwę kwazilokalnych. Bogolubow pokazał w swej pracy /IV/, że dowolności w określeniu operatora "S" sprowadzić można do dowolności w wyborze lagrangianu. Określamy zmodyfikowany lagrangian o postaci:

$$\mathcal{L}_I(x, g) \stackrel{\text{def}}{=} \mathcal{L}_I(x) \cdot g(x) + \sum_{\nu=2}^{\infty} \frac{1}{\nu!} \int \Lambda_{\nu}(x_1, x_1 \dots x_{\nu-1}) g(x) g(x_1) \dots \dots g(x_{\nu-1}) d^4 x_1 \dots d^4 x_{\nu-1} \dots /4.2/$$

gdzie tzw. "funkcja włączeniowa"  $g(x)$  określona jest następująco:

$$\begin{aligned} g(x) &\equiv 0 && \text{w obszarze, gdzie oddziaływanie jest wyłączone,} \\ 0 < g(x) < 1 && \text{w obszarze, gdzie oddziaływanie jest włączone, częściowo,} \\ g(x) &\equiv 1 && \text{dla obszaru z pełnym oddziaływaniem.} \end{aligned}$$

Funkcja  $g(x)$  ma charakter pomocniczy i w fizycznych przypadkach łącznie się  $g(x) \equiv 1$ .

Tworząc operator "S" według wzoru /3.7/ i grupując wyrazy o jednakowych potęgach funkcji  $g(x)$  otrzymuje się ogólny wzór na operator  $S_n(x_1 \dots x_n)$  w zależności od  $\mathcal{L}_I(x)$  i  $\Lambda_2(x_1, x_2) \dots \Lambda_n(x_1 \dots x_n)$ , którego jawną postać przedstawimy dla  $S_2(x_1, x_2)$  i dla  $S_3(x_1, x_2, x_3)$

$$S_2(x_1, x_2) = i^2 T[\mathcal{L}_I(x_1) \mathcal{L}_I(x_2)] + i \Lambda_2(x_1, x_2) \quad /4.3/$$

$$\begin{aligned} S_3(x_1, x_2, x_3) = & -i T[\mathcal{L}_I(x_1) \mathcal{L}_I(x_2) \mathcal{L}_I(x_3)] - T[\mathcal{L}_I(x_1) \Lambda_2(x_2, x_3)] - \\ & - T[\mathcal{L}_I(x_2) \Lambda_2(x_1, x_3)] - T[\mathcal{L}_I(x_3) \Lambda_2(x_1, x_2)] + \\ & + i \Lambda_3(x_1, x_2, x_3) \quad \dots /4.3'/ \end{aligned}$$

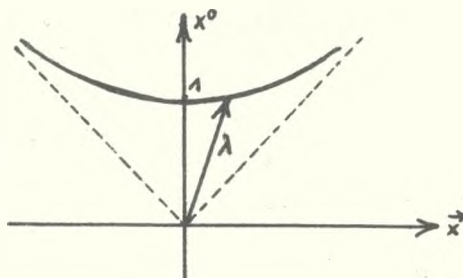
Dowolności w określeniu kolejnych członów  $S_n$  wykorzystuje się do re-normalizacji. Najpierw prowadzi się obliczenia danego członu operatora "S" korzystając z jego standardowej postaci /3.6/ ze zwykłym lagrangianem  $\mathcal{L}_I(x)$ . Jeżeli wynik jest rozbieżny, to za pomocą tzw. procedury regularyzacji oddzielamy część zbieżną od rozbieżnej. Okazuje się wtedy, że część rozbieżna ma postać operatora kwazilokalnego  $\Lambda_V$ . Korzystając z dowolności określenia funkcji Lagrange'a wprowadzamy operator  $\Lambda_V$  ze znakiem przeciwnym do zmodyfikowanej funkcji Lagrange'a według wzoru /4.2/. Wiemy teraz, na pewno, że obliczanie tego samego członu operatora "S" z użyciem nowego lagrangianu doprowadzi do skasowania się członów rozbieżnych. Bogolubow pokazał również, że powyższa modyfikacja lagrangianu daje automatycznie regularyzację niektórych wyższych członów operatora "S".

## 5. Pędowa reprezentacja Kadyszewskiego

Nieco odmienną od powszechnie przyjętej metodę obliczania członów operatora "S" podał Kadyszewski [1]. Korzystamy w niej z postaci /3.6/ operatora  $T_n$  i dokonujemy trywialnej zamiany

$$\theta(x^0) \rightarrow \theta(\lambda \cdot x) \quad \lambda \cdot x = \lambda^0 \cdot x^0 - \vec{\lambda} \cdot \vec{x} \dots /5.1/$$

gdzie  $\lambda$  jest czterowektorem o własnościach  $\lambda^2 = 1 \quad \lambda^0 \geq 0 \dots /5.2/$



Możliwość takiej zamiany wynika z komutowania operatorów Lagrange'a

$$[\mathcal{L}_I(x), \mathcal{L}_I(y)] = 0 \quad (x-y)^2 < 0$$

czyli dla dwóch punkto-chwil, między którymi nie zachodzi związek przyczynowy. Dla T otrzymujemy wówczas:

$$T_n = \int \theta(\lambda \cdot (x_1 - x_2)) \dots \theta(\lambda \cdot (x_{n-1} - x_n)) \mathcal{L}_I(x_1) \dots \mathcal{L}_I(x_n) d^4 x_1 \dots d^4 x_n \dots /5.3/$$

Funkcje Heavisidea występujące w tym wzorze można rozwinąć w szeregi Fouriera

$$\theta(\lambda \cdot x) = \frac{-1}{2\pi i} \int \frac{e^{-i \tau(\lambda \cdot x)}}{\tau + i\epsilon} d\tau \quad \dots /5.4/$$

Obliczając tę całkę na płaszczyźnie zespolonej  $\tau$  otrzymujemy funkcję Heavisidea o znanych własnościach. Po podstawieniu do /5.3/ pędowych przedstawień operatorów  $\mathcal{L}_I(x)$ :

$$\mathcal{L}_I(x) = \frac{1}{(2\pi)^4} \int e^{ipx} \tilde{\mathcal{L}}(p) d^4 p \quad \dots /5.5/$$

można zanważyć, że

$$\begin{aligned} T_1 &= \tilde{\mathcal{L}}(0) \\ T_2 &= \frac{1}{2\pi} \int_{-\infty}^{\infty} \tilde{\mathcal{L}}(\lambda\tau) \frac{d\tau}{\tau + i\epsilon} \tilde{\mathcal{L}}(-\lambda\tau) \quad \dots /5.6/ \\ T_n &= \frac{1}{(2\pi)^{n-1}} \int_{-\infty}^{\infty} \tilde{\mathcal{L}}(\lambda\tau_1) \frac{d\tau_1}{\tau_1 + i\epsilon} \tilde{\mathcal{L}}(\lambda\tau_2 - \lambda\tau_1) \dots \frac{d\tau_{n-1}}{\tau_{n-1} + i\epsilon} \tilde{\mathcal{L}}(-\lambda\tau_{n-1}) \end{aligned}$$

Pędowa reprezentacja Kadyszewskiego prowadzi do specjalnej interpretacji graficznej. Dla jej przedstawienia musimy posłużyć się jakimś konkretnym modelem, np.

$$\mathcal{L}_1(x) = e : \varphi^3(x) : \quad \dots/5.7/$$

W reprezentacji pędowej otrzymamy

$$\tilde{\mathcal{L}}(\lambda\tau) = \frac{1}{\sqrt{2\pi}} \int \delta(\lambda\tau - k_1 - k_2 - k_3) : \varphi(k_1) \varphi(k_2) \varphi(k_3) : d^4 k_1 d^4 k_2 d^4 k_3$$

gdzie

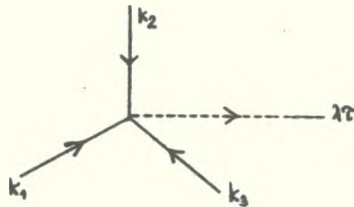
.../5.8/

$$\varphi(k) = \frac{1}{(2\pi)^{3/2}} \int e^{-ikx} \varphi(x) d^4 x$$

Operatorowi  $\varphi(k)$  przypisujemy linię cząstki o 4-pędzie  $k$ . Z argumentu funkcji  $\delta$ -Diraca wynika, że

$$k_1 + k_2 + k_3 = \lambda\tau$$

Jeżeli więc w jednej punkto-chwili "spotykają" się 3 cząstki /por. postać  $\mathcal{L}(x)$ / o pędach  $k_1, k_2, k_3$ , to tę samą punkto-chwilę opuszcza nieznaną twór /nazwijmy go kwasicząstką/ o pędzie  $\lambda\tau$ . Możemy więc narysować diagram:



Przyjmując taką interpretację graficzną operatora  $\tilde{\mathcal{L}}_1(\lambda\tau)$  możemy w podobny sposób zilustrować kolejne człony  $T_{n\tau}$  pamiętając o możliwości zastosowania tw. Wicka. Np. dla  $T_2$  otrzymamy:

$$T_2 = \frac{1}{(2\pi)^2} \int \delta(\lambda\tau - p_1 - p_2 - p_3) \delta(-\lambda\tau - k_1 - k_2 - k_3) \frac{1}{\tau + i\epsilon}$$

$$: \varphi(p_1) \varphi(p_2) \varphi(p_3) : : \varphi(k_1) \varphi(k_2) \varphi(k_3) : d^4 p_1 d^4 p_2 d^4 p_3 d^4 k_1 d^4 k_2 d^4 k_3 d\tau =$$

$$= \frac{1}{(2\pi)^2} \int \delta\left(\sum_{i/1}^3 p_i + \sum_{j/1}^3 k_j\right) \delta\left(\lambda\tau - \sum_{i/1}^3 p_i\right) \frac{1}{\tau + i\epsilon}$$

$$: \varphi(p_1) \varphi(p_2) \varphi(p_3) \varphi(k_1) \varphi(k_2) \varphi(k_3) : d^4 k_1 \dots d^4 p_3 d\tau \quad \dots/5.9/$$

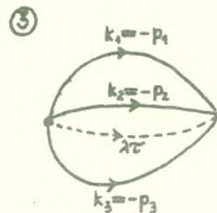
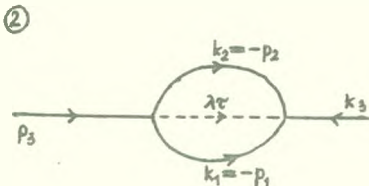
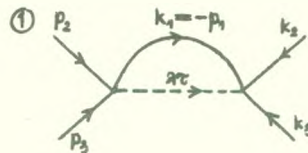
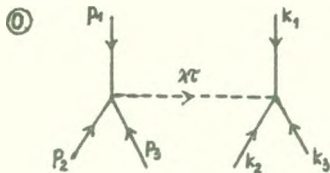
Do iloczynu operatorów pola stosujemy tw. Wicka:

$$\begin{aligned}
 & : \varphi(p_1)\varphi(p_2)\varphi(p_3) : : \varphi(k_1)\varphi(k_2)\varphi(k_3) : = : \varphi(p_1) \dots \varphi(k_3) : + \\
 & + : \underbrace{\varphi(p_1)\varphi(p_2)\varphi(p_3)} \underbrace{\varphi(k_1)\varphi(k_2)\varphi(k_3)} : + \\
 & + : \underbrace{\varphi(p_1)\varphi(p_2)\varphi(p_3)\varphi(k_1)\varphi(k_2)} \varphi(k_3) : + \dots + \\
 & + : \underbrace{\varphi(p_1)\varphi(p_2)\varphi(p_3)\varphi(k_1)\varphi(k_2)} \varphi(k_3) + \dots + \dots / 5.10 / \\
 & + : \underbrace{\varphi(p_1)\varphi(p_2)\varphi(p_3)\varphi(k_1)\varphi(k_2)} \varphi(k_3) + \dots
 \end{aligned}$$

Wykropkowano pozostałe kombinacje z taką samą liczbą zwężeń. Podstawiając kontrakcje ze wzoru /3.2'/ otrzymujemy

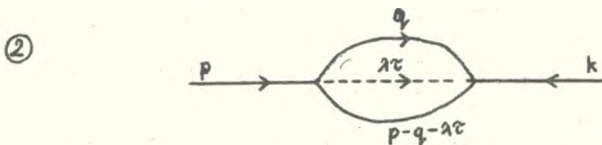
$$\begin{aligned}
 & : \varphi(p_1)\varphi(p_2)\varphi(p_3) : : \varphi(k_1)\varphi(k_2)\varphi(k_3) : = : \varphi(p_1) \dots \varphi(k_3) : + \quad \textcircled{0} \\
 & + \delta(p_1 + k_1) D(k_1) : \varphi(p_2)\varphi(p_3)\varphi(k_2)\varphi(k_3) : + \dots + \quad \textcircled{1} \\
 & + \delta(p_1 + k_1)\delta(p_2 + k_2) D(k_1) D(k_2) : \varphi(p_3)\varphi(k_3) : + \dots + \quad \textcircled{2} \\
 & + \delta(p_1 + k_1)\delta(p_2 + k_2)\delta(p_3 + k_3) D(k_1) D(k_2) D(k_3) + \dots \quad \textcircled{3}
 \end{aligned}$$

Postać członu  $T_2$  z iloczynem operatorów pola rozpisany wg twierdzenia Wicka sugeruje odpowiadającą temu rozpisaniu interpretację graficzną. Interpretacja ta wprowadzona przez Kadyszewskiego jest odmienna od zwykłej interpretacji Feynmana, w której nie występują linie kwasiozastkowe.





Pojęcia wierzchołków, linii wewnętrznych /propagatorów/ i zewnętrznych diagramu uważamy za znane. Całkowanie kolejnych członów  $T_n$  napotyka na podobne trudności, co i w przypadku zwykłego ujęcia operatora "S". Okazuje się jednak, że rozbieżne mogą być wyłącznie całki po pędach przekazywanych na wewnętrznych liniach kwasicząstkowych. Rozpatrzmy jeden z otrzymanych grafów:



Odpowiada mu część członu  $T_2$ ; oznaczmy ją przez  $T_2^{(2)}$ .

$$T_2^{(2)} = \frac{1}{(2\pi)^2} a_2^{(2)} \int \delta\left(\sum_{i/1} p_i + \sum_{j/1} k_j\right) \delta(\lambda\tau - \sum_{i=1}^3 p_i) \frac{1}{\tau + i\epsilon} \delta(p_1 + k_1) \delta(p_2 + k_2).$$

$$\cdot D(k_1) D(k_2) : \varphi(p_3) \varphi(k_3) : d^4 p_1 d^4 p_2 d^4 p_3 d^4 k_1 d^4 k_2 d^4 k_3 d\tau =$$

$$= \frac{1}{(2\pi)^2} a_2^{(2)} \int \delta(p_3 + k_3) \delta(\lambda\tau + k_1 + k_2 - p_3) \frac{1}{\tau + i\epsilon} D(k_1) D(k_2) \times$$

$$: \varphi(p_3) \varphi(k_3) : d^4 k_1 d^4 k_2 d^4 k_3 d^4 p_3 d\tau = \left| \begin{array}{l} p_3 \equiv p \\ k_3 \equiv k \\ k_1 \equiv q \end{array} \right| =$$

$$= \frac{1}{(2\pi)^2} a_2^{(2)} \int \delta(p+k) \frac{1}{\tau + i\epsilon} D(q) D(p-q - \lambda\tau) : \varphi(p) \varphi(k) : \times$$

$$\times d^4 p d^4 k d^4 q d\tau. /5.11/$$

Współczynnik liczbowy  $a_2^{(2)}$  odpowiada krotności danego diagramu w rozwinieciu Wicka. Zgodnie z przyjętą interpretacją graficzną funkcje  $D(q)$  odpowiadają liniom wewnętrznym /tzw. cząstkom wirtualnym/, funkcja  $\frac{1}{\tau + i\epsilon}$  odpowiada wewnętrznej linii kwasicząstkowej a operatory pola odpowiadają liniom zewnętrznym. Z postaci funkcji  $D(q)$  /3.3'/ wynika następująca własność cząstek wirtualnych: cząstki wirtualne poruszają się po liniach wewnętrznych w określonym "kierunku" /tzn. od wierzchołka lewego do prawego, a nie na odwrót/, bo funkcja  $0 q^0$  wyznacza kierunek przekazywania energii. Własności tej nie posiadają linie wewnętrzne w zwykłej interpretacji Feynmana. Czteropęd, jaki osiągnie cząstka na linii wewnętrznej jest więc w ujęciu Kadyszewskiego ograniczony pędem do-



starczonym do wierzchołka, z którego ta linia wychodzi. Wspomniane wyżej i wymagające regularyzacji osobliwości, na jakie natrafia się w zwykłym ujęciu przy obliczaniu członów  $T_n$  pochodzą od rozbieżnych całek po pędach cząstek wewnętrznych. W ujęciu Kadyszewskiego, ze względu na ograniczony pęd cząstek wewnętrznych, całki po pędach tych cząstek/w naszym przykładzie po  $d^4q$  są zbieżne, a rozbieżności "spychane" są jakgdyby do ostatniej całki po  $d\tau$ . Sposób usuwania tej rozbieżności /regularyzacja/ omówimy na poniższym przykładzie.

W końcowej części niniejszej pracy rozważane będzie oddziaływanie naładowanego pola skalarnego  $\varphi(x)$  z polem elektro-magnetycznym  $A^\mu(x)$  z gęstością funkcji Lagrange'a

$$\mathcal{L}_I(x) = e : \bar{\psi}(x) A^\mu(x) \psi(x) :$$

Jeden z członów operatora "S" otrzymywanych w drugim rzędzie przybliżeń, któremu odpowiada diagram

(5)



ma postać:

$$T_2^{(5)} = a_2^{(5)} e^2 \int d\left(\prod_{i=1}^4 p_i\right) \cdot F_2^{(5)}(p_1, p_2) \cdot \varphi(p_1) \dots \varphi(p_4) : d^4 p_1 \dots d^4 p_4 \dots / 5.12/$$

gdzie całka

$$F_2^{(5)}(p_1, p_2) = \frac{\pi}{2} \int_{-\infty}^{c(p_1, p_2)} \frac{d\tau}{\tau + i\epsilon}$$

$$c(p_1, p_2) = (p_1 + p_2) \cdot \lambda \cdot \sqrt{[(p_1, p_2) \lambda]^2 - (p_1 + p_2)^2}$$

jest, jak widać, rozbieżna logarymicznie w dolnym skraju przedziału całkowania. Wybierzmy układ współrzędnych, w którym  $\vec{p}_1 + \vec{p}_2 = 0$  i połóżmy  $\vec{\lambda} = 0$  w tym układzie. Otrzymamy

$$F_2^{(5)}(p_1^0, p_2^0) = \frac{\pi}{2} \int_{-\infty}^{p_1^0 + p_2^0} \frac{d\tau}{\tau + i\epsilon}$$

Łatwo zauważyć, że

$$\lim_{M \rightarrow \infty} \left( \frac{1}{\tau + i\varepsilon} - \frac{1}{\tau + M + i\varepsilon} \right) = \lim_{M \rightarrow \infty} \frac{M}{(\tau + i\varepsilon)(\tau + M + i\varepsilon)} = \frac{1}{\tau + i\varepsilon}$$

Robimy więc zamianę:

$$\frac{1}{\tau + i\varepsilon} \longrightarrow \frac{1}{\tau + i\varepsilon} - \frac{1}{\tau + M + i\varepsilon}$$

Po takim podstawieniu całka jest formalnie wykonalna; należy jednak po scałkowaniu zrobić przejście graniczne  $M \rightarrow \infty$  i oddzielić część zbieżną od rozbieżnej. /Całkę wykonujemy w tym wypadku metodą rozkładu funkcji podcałkowej na ułamki proste/.

$$F_2^{(5)}(p_1^0, p_2^0) = -\frac{\pi}{2} \ln \frac{p_1^0 + p_2^0 - \tau}{m} + \frac{\pi}{2} \lim_{M \rightarrow \infty} \ln \left| \frac{M}{m} \right|$$

Druga /rozbieżna/ część tej sumy podstawiona do wzoru /5.12/ daje w reprezentacji położenia szukany przyczynek do operatora kwasilokalnego:

$$\begin{aligned} \frac{\pi}{2} \ln \left| \frac{M}{m} \right| Q_Z^{(6)} e^Z \int \delta(\Sigma p) : \dot{\varphi}(p_1) \dot{\varphi}(p_2) \dot{\varphi}(p_3) \varphi(p_4) dp_1 \dots dp_4 \stackrel{df}{=} \\ \stackrel{df}{=} i \int \Lambda_2^{(5)}(x_1, x_2) dx_1 dx_2 \end{aligned} \quad \dots /5.13/$$

Podstawienie do /5.13/ położeniowych reprezentacji operatorów pola daje

$$\Lambda_2^{(5)}(x_1, x_2) = a_2^{(5)} e^2 \ln \left| \frac{M}{m} \right| \delta(x_1 - x_2) : \varphi(x_1) \varphi(x_1) \varphi(x_2) \varphi(x_2) :$$

Po obliczeniu i zsumowaniu operatorów kwasilokalnych odpowiadających pozostałym członom  $T_2^{(i)}$  otrzymać można pełny operator kwasilokalny  $\Lambda_2(x_1, x_2)$ . Autorzy niniejszej pracy przeprowadzili obliczenia operatorów kwasilokalnych w drugim rzędzie przybliżeń dla dwóch typów oddziaływań:

1.  $\mathcal{L}_I(x) = e : \varphi^4(x) :$
2.  $\mathcal{L}_{II}(x) = e : \varphi(x) \Lambda^{\mu\nu}(x) \Lambda_{\mu\nu}(x) \varphi(x) :$

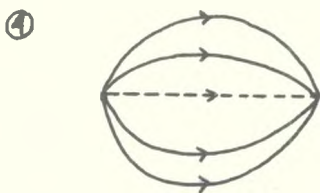
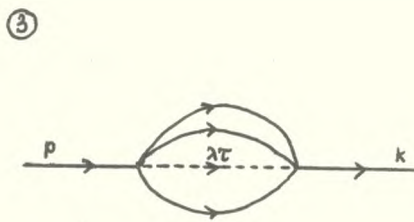
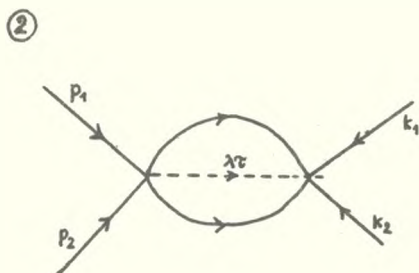
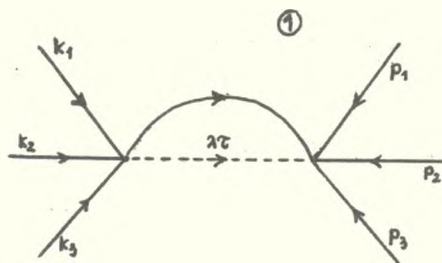
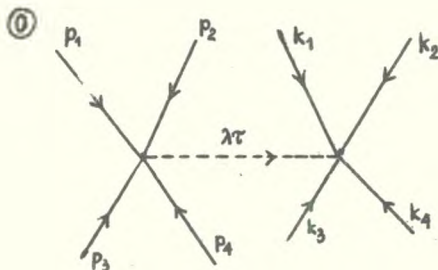
gdzie  $\varphi(x)$  opisuje cząstkę /pole/ skalarną,

$\Lambda^{\mu\nu}(x)$  odpowiada polu elektromagnetycznemu,

$e$  jest stałą sprzężenia.

Rozpatrywane będą człony dające przyczynek do przekroju czynnego /tzn. posiadające linie zewnętrzne/.

Ad.1. Komplet diagramów dla tego oddziaływania ma w drugim rzędzie przybliżeń postać:



⑤ nie daje przyczynku do przekroju czynnego.

Element macierzowy II-go rzędu  $S_2$  jest sumą przyczynków od poszczególnych grafów.

$$S_2 = \sum_{r/0}^4 S_2^{(r)}$$

Obliczenia wykazują rozbieżność członów  $S_2^{(2)}$ ,  $S_2^{(3)}$  i  $S_2^{(4)}$ . Po przeprowadzeniu renormalizacji masy kwasicząstki

$$\frac{1}{\tau + i\epsilon} \rightarrow \frac{1}{\tau + i\epsilon} - \left( \frac{1}{\tau + M + i\epsilon} \right)^{r+2}$$

i oddzieleniu członów rozbieżnych dla  $M \rightarrow \infty$  uzyskuje się wyrażenia  $\Lambda_2^{(2)}$  jako operatory kwasilokalne w postaci: dla grafu (2):

$$\Lambda_2^{(2)}(x, x_1) = a_2^{(2)} e^2 \left[ m - \frac{1}{4i} \left( \frac{\partial}{\partial x_0} - \frac{\partial}{\partial x_1} \right) \right] \delta(x - x_1) : \varphi^2(x) \varphi^2(x_1) : \ln \frac{M}{m}$$

w układzie współrzędnych  $\vec{k}_1 + \vec{k}_2 = 0$  i z wyborem  $\vec{\lambda} = 0$  w tym układzie, oraz dla grafu (3):

$$\Lambda_2^{(3)}(x, x_1) = a_2^{(3)} e^2 \left[ a \left( \frac{\partial}{\partial x_0} - \frac{\partial}{\partial x_1} \right) + b \left( \frac{\partial^2}{\partial x_0^2} - \frac{\partial^2}{\partial x_1^2} \right) + c \left( \frac{\partial^3}{\partial x_0^3} - \frac{\partial^3}{\partial x_1^3} \right) + d \left( \frac{\partial^4}{\partial x_0^4} + \frac{\partial^4}{\partial x_1^4} \right) + f \right] \delta(x - x_1) : \varphi(x) \varphi(x_1) :$$

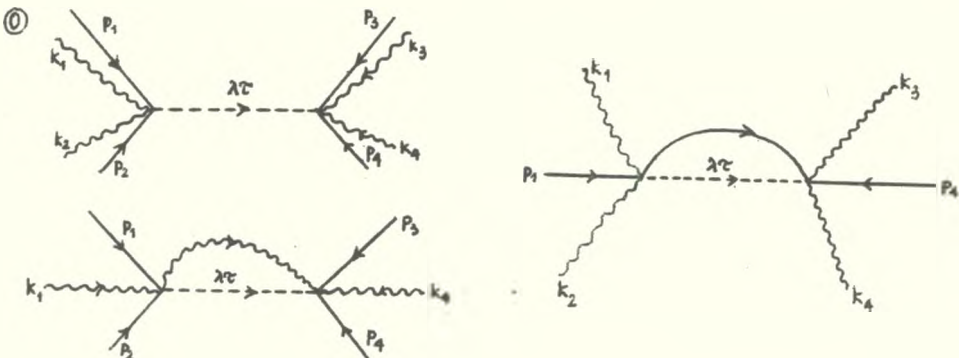
w układzie  $\vec{k} = 0$  i z wyborem  $\vec{\lambda} = 0$  w tym układzie, gdzie

$$a = \frac{81}{2} \ln \left[ 3 \left| \frac{M}{m} \right| \right] + \frac{343}{2} \ln \left| \frac{M}{m} \right| + \frac{405}{2} \left| \frac{M}{m} \right|^2$$

$$b = \frac{243}{2} \left( \frac{M}{m} \right) i \quad c = -\frac{1}{2} \left( \frac{M}{m} \right)^2, \quad d = \frac{1}{2} \left( \frac{M}{m} \right),$$

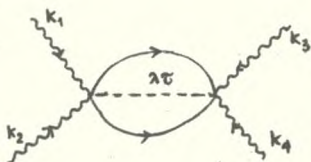
$$f = -\frac{M}{m} + \frac{81}{4} \left( \frac{M}{m} \right)^2$$

Ad.2. W drugim rzędzie przybliżeń oddziaływanie to prowadzi do następujących diagramów:

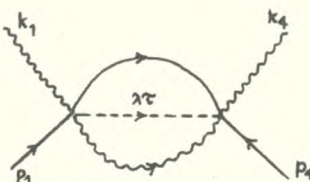


Człony odpowiadające powyższym grafom są zbieżne i nie wymagają renormalizacji. Pozostałe diagramy odpowiadają członom rozbieżnym:

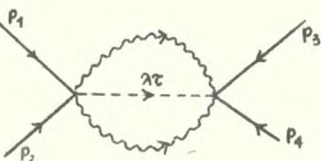
③



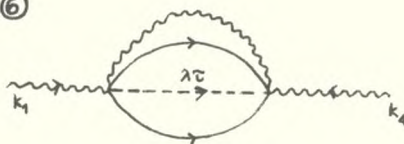
④



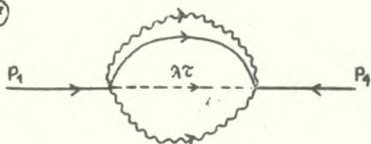
⑤



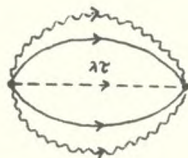
⑥



⑦



⑧



Renormalizacja przeprowadzona podobnie, jak w poprzednim przykładzie prowadzi do operatorów kwasilokalnych, jak następuje:

$$\Lambda_2^{(3)}(x_1, x_2) = a_2^{(3)} e^2 \delta(x_1 - x_2) : \Delta^\mu(x_1) \Delta_\mu(x_2) \Delta^\mu(x_1) \Delta_\nu(x_2) : \ln \left| \frac{M}{m} \right|$$

$$\Lambda_2^{(4)}(x_1, x_2) = a_2^{(4)} e^2 \delta(x_1 - x_2) : \dot{\varphi}^*(x_1) \varphi(x_2) \Delta^\mu(x_1) \Delta_\mu(x_2) : \ln \left| \frac{M}{m} \right|$$

$$\Lambda_2^{(5)}(x_1, x_2) = a_2^{(5)} e^2 \delta(x_1 - x_2) : \dot{\varphi}^*(x_1) \varphi(x_1) \dot{\varphi}^*(x_2) \varphi(x_2) : \ln \left| \frac{M}{m} \right|$$

$$\Lambda_2^{(6)}(x_1, x_2) = a_2^{(6)} e^2 \delta(x_1 - x_2) \left[ (\alpha + \beta \frac{\partial^2}{\partial x_1^2}) \ln \left| \frac{M}{m} \right| - \gamma \ln^2 \left| \frac{M}{m} \right| \right] : \Delta^\mu(x_1) \Delta_\mu(x_2) :$$

$$\Lambda_2^{(7)}(x_1, x_2) = a_2^{(7)} e^2 \delta(x_1 - x_2) \left[ (\delta + \eta \frac{\partial^2}{\partial x_1^2}) \ln \left| \frac{M}{m} \right| + \zeta \ln^2 \left| \frac{M}{m} \right| \right] : \dot{\varphi}^*(x_1) \varphi(x_2) :$$

gdzie  $\alpha = 3\pi m^2 - i \frac{m^2}{4}$  i  $\beta = \frac{i}{8}$  i  $\gamma = -i \frac{m^2}{2}$

$\delta = \pi m^2$  i  $\eta = \frac{i}{2}$  i  $\zeta = i \frac{m^2}{2}$

Człony  $\Lambda_2^{(6)(F)}$  obliczane są w układach środka masy  $\vec{p}_{in} = 0$  i z wyborem  $\vec{x} = 0$  w tych układach. Dla obydwu funkcji Lagrange'a proces renormalizacji przeprowadzono w reprezentacji pędów, przepisując następnie wyniki w reprezentacji położenia. Metoda renormalizacji z zastosowaniem operatorów kwasilokalnych  $\tilde{\Lambda}(p_1, \dots) \rightarrow \Lambda(x_1, \dots)$  abstrahując od możliwości interpretacyjnych wynikających z pojawienia się linii kwazi-cząstek, w znacznym stopniu ujednoznacza proces renormalizacji poprzez modyfikację standardowej postaci  $\mathcal{L}_I(x)$ , co zdaniem autorów niniejszej pracy stanowi rzecz godną podkreślenia.

### L i t e r a t u r a

- V.G. Kadyshevsky, Zh. Eksper. Teor. Fiz. /USSR/, 46, 654, 1964.  
 V.G. Kadyshevsky, Zh. Eksper. Teor. Fiz. /USSR/, 46, 873, 1964.  
 Z. Borelowski, Acta Phys. Polon. B1 nr 2 155 1970.  
 N.N. Bogoliubov, D.V. Shirkov, "Vvedenie v teoriyu kvantovannykh polei", Moskwa, 1957.  
 S. Shveber, "Vvedenie v relyativistskuyu kvantovuyu teoriyu polya", Moskwa 1963.  
 H.A. Bethe, "Mesons and fields", Evanston 1955.

"S - Matrix: Bogoliubov's Regularization and Kadyshevsky's Representation"

### S u m m a r y

The method of Bogoliubov's Regularization in Kadyshevsky's Representation for electromagnetic-meson interaction is described.

"S- Матрица; Регуляризация Боголюбова и репрезентация Кадышевского"

### Резюме

Предлагается способ перенормировки членов S - Матрицы, второго порядка в - представлении Кадышевского, для некоторого Лагранжиана взаимодействия